

УДК 539.3:534.1

## О НЕЛИНЕЙНЫХ ФОРМАХ ДВИЖЕНИЯ ТОНКИХ КРУГОВЫХ ЦИЛИНДРИЧЕСКИХ ОБОЛОЧЕК

Г. С. Лейзерович

Комсомольский-на-Амуре государственный технический университет,  
681013 Комсомольск-на-Амуре

В рамках нелинейной теории гибких пологих оболочек изучаются свободные изгибные колебания оболочки, шарнирно опертой по торцам. Предполагается, что возбуждение изгибных колебаний с большими амплитудами приводит к возникновению радиальных колебаний оболочки. Модальные уравнения получены методом Бубнова — Галеркина. Периодические решения найдены методом Крылова — Боголюбова. Полученная на основе нелинейной конечномерной модели оболочки скелетная кривая мягкого типа согласуется с известными экспериментальными данными.

**Введение.** Несмотря на большое количество работ по нелинейной динамике оболочек [1], ряд задач остается нерешенным. В частности, не решена задача об изгибных колебаниях шарнирно опертой оболочки конечной длины с большими амплитудами. Использование традиционных нелинейных конечномерных моделей оболочки [1–5], приводящее к скелетной кривой мягкого типа, не позволяет удовлетворить граничному условию по изгибающему моменту. Поэтому эти модели справедливы только для длинной оболочки. Попытки решить эту задачу с помощью конечномерных моделей, позволяющих удовлетворить всем граничным условиям, оказались безуспешными [2, 3]. Использование таких моделей приводит к скелетной кривой жесткого типа, качественно не согласующейся с известными экспериментальными данными.

В настоящей работе предлагается нелинейная конечномерная модель оболочки, использование которой приводит к скелетной кривой мягкого типа, и решена задача о нелинейных изгибных колебаниях шарнирно опертой оболочки конечной длины.

**Уравнения движения.** Математическая модель основывается на уравнениях нелинейной теории гибких пологих оболочек [5]

$$\frac{1}{E} \nabla^4 \Phi = -\frac{1}{2} L(w, w) - \frac{1}{R} \frac{\partial^2 w}{\partial x^2}, \quad \frac{D}{h} \nabla^4 w = L(w, \Phi) + \frac{1}{R} \frac{\partial^2 \Phi}{\partial x^2} - \rho \frac{\partial^2 w}{\partial t^2}, \quad (1)$$

где  $\nabla^4$ ,  $L$  — известные дифференциальные операторы;  $w(x, y, t)$  — упругий прогиб;  $\Phi(x, y, t)$  — функция напряжений в срединной поверхности;  $R$  — радиус оболочки;  $D = Eh^3/(12(1 - \mu^2))$  — цилиндрическая жесткость;  $E$  — модуль Юнга;  $h$  — толщина;  $\mu$  — коэффициент Пуассона;  $\rho$  — плотность;  $t$  — время.

Пусть оболочка длиной  $l$  шарнирно оперта по краям, а точки ее контура свободно смещаются в продольном и окружном направлениях:

$$w = \frac{\partial^2 w}{\partial x^2} = N_x = T = 0 \quad \text{при} \quad x = 0, \quad x = l, \quad (2)$$

где  $N_x$ ,  $T$  — погонные продольное и касательное усилия соответственно.

**Формы нелинейных колебаний.** Прогиб оболочки при колебаниях с частотой основного тона может быть аппроксимирован выражением [1–5]

$$w(x, y, t) = h\{[f_1(t) \sin(\beta y) + f_2(t) \cos(\beta y)] \sin(\alpha x) + \Psi(x, t)\}, \quad \alpha = \pi/l, \quad \beta = n/R, \quad (3)$$

где  $n$  — число волн в окружном направлении, а сопряженные изгибные формы  $\sin(\beta y) \sin(\alpha x)$ ,  $\cos(\beta y) \sin(\alpha x)$  являются формами малых колебаний оболочки.

Как известно, характер нелинейного поведения оболочки существенно зависит от формы осесимметричной составляющей прогиба  $\Psi(x, t)$ , которая при построении конечномерной модели (3) принимается в виде  $\Psi(x, t) = f_3(t) \sin^2(\alpha x)$  [1–5]. Однако при использовании такого подхода, основанного на геометрических модельных представлениях о деформировании оболочки (“преимущественное выпучивание вовнутрь”, нерастяжимость контура), невозможно удовлетворить краевым условиям (2) и, следовательно, получить приемлемое решение для оболочки конечной длины.

В то же время использование функции  $\Psi(x, t) = f_3(t) \sin(\alpha x)$ , удовлетворяющей всем условиям шарнирного опирания, не рекомендуется [1–3], так как в этом случае одномодовый режим движения оболочки получается жестким.

В настоящей работе предлагается иной подход к построению нелинейной конечномерной модели (3). Будем полагать, что возбуждение изгибных колебаний оболочки с большими амплитудами приводит к возникновению радиальных колебаний (в линейной постановке эти колебания, как известно, происходят независимо). Осесимметричная часть прогиба  $\Psi(x, t)$  может быть получена “суммированием” форм малых радиальных колебаний. Удерживая в этом разложении два члена ряда, представим прогиб в виде

$$w(x, y, t) = h\{[f_1(t) \sin(\beta y) + f_2(t) \cos(\beta y)] \sin(\alpha x) + f_3(t) \sin(\alpha x) + f_4(t) \sin(3\alpha x)\}.$$

**Модальные уравнения.** Уравнения (1) решаются по схеме П. Ф. Папковича. Сначала определяется функция напряжений  $\Phi$ . Тангенциальные граничные условия  $N_x = T = 0$ , как и в [2–5], удовлетворяются “в среднем”. Методом Бубнова — Галеркина получена система четырех нелинейных дифференциальных уравнений относительно обобщенных координат. Затем по аналогии с [2, 5] она упрощается. Окончательно система сводится к двум дифференциальным уравнениям для функций  $f_1$  и  $f_2$

$$\begin{aligned} \ddot{f}_1 + f_1 + c_1 f_1 (\dot{f}_1 f_1 + \dot{f}_2 f_2 + \dot{f}_1^2 + \dot{f}_2^2) + c_2 f_1 (f_1^2 + f_2^2) &= 0, \\ \ddot{f}_2 + f_2 + c_1 f_2 (\dot{f}_1 f_1 + \dot{f}_2 f_2 + \dot{f}_1^2 + \dot{f}_2^2) + c_2 f_2 (f_1^2 + f_2^2) &= 0. \end{aligned}$$

Здесь точки обозначают дифференцирование по безразмерному времени  $\tau = \lambda t$  ( $\lambda$  — собственная частота),

$$\begin{aligned} c_1 = \frac{32\varepsilon}{9\pi^2 p_1^2} &\left[ \left(1 + \frac{2\theta^4}{(1 + \theta^2)^2}\right) \left(1 + \frac{\theta^4}{(1 + \theta^2)^2} + \frac{\theta^4}{(1 + 4\theta^2)^2}\right) + \right. \\ &\left. + \frac{p_1^2}{25p_2^2} \left(1 + \frac{18\theta^4}{(1 + \theta^2)^2}\right) \left(1 + \frac{9\theta^4}{(1 + \theta^2)^2} + \frac{45\theta^4}{(1 + 4\theta^2)^2} - \frac{36\theta^4}{(1 + 16\theta^2)^2}\right) \right], \end{aligned}$$

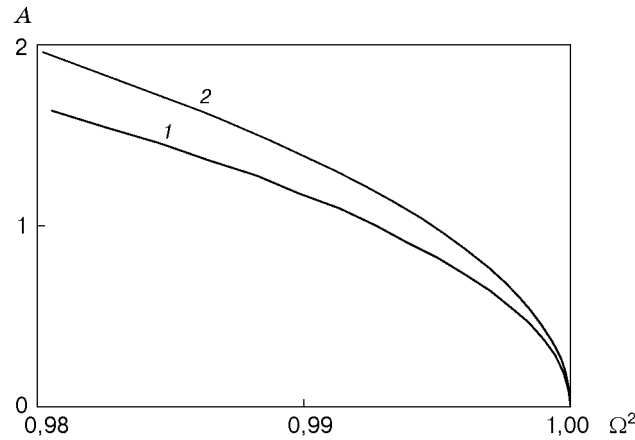
$$c_2 = \frac{\varepsilon}{16\omega^2} \left(3 + \theta^4 - \frac{8}{\varepsilon} c_1\right), \quad p_1^2 = 1 + \frac{\varepsilon\theta^4}{12(1 - \mu^2)}, \quad p_2^2 = 1 + \frac{81\varepsilon\theta^4}{12(1 - \mu^2)},$$

$$\omega^2 = \frac{\rho R^2}{E} \lambda^2 = \frac{\varepsilon(1 + \theta^2)^2}{12(1 - \mu^2)} + \frac{\theta^4}{(1 + \theta^2)^2}, \quad \varepsilon = \left(\frac{n^2 h}{R}\right)^2, \quad \theta = \frac{\pi R}{nl}.$$

**Результаты и выводы.** Уравнения скелетных кривых, соответствующих режимам стоячей волны ( $f_1 = A \cos(\Omega\tau)$ ,  $f_2 \equiv 0$ ) и бегущей волны ( $f_1 = A \cos(\Omega_c\tau)$ ,  $f_2 = A \sin(\Omega_c\tau)$ ), получены методом Крылова — Боголюбова:

$$\Omega^2 = (\tilde{\omega}/\omega)^2 = 1 - (2c_1 - 3c_2)A^2/4, \quad \Omega_c^2 = (\tilde{\omega}_c/\omega)^2 = 1 + c_2A^2, \quad (4)$$

где  $\tilde{\omega}$  и  $\tilde{\omega}_c$  — безразмерные частоты нелинейных свободных колебаний.



Для контроля правильности полученных выше зависимостей сделан предельный переход к бесконечно длинной оболочке. При  $\theta \rightarrow 0$   $c_1 = 832\varepsilon/(225\pi^2) \approx 3\varepsilon/8$ ,  $c_2 = 9(1 - 6656/(675\pi^2))/4 \approx 0$ ,  $\Omega^2 = 1 - 3\varepsilon A^2/16$ ,  $\Omega_c^2 = 1$ . Эти соотношения эквивалентны соотношениям в работе [6].

На рисунке представлены скелетные кривые мягкого типа одномодового режима движения относительно длинной оболочки с параметрами  $l/R = 2,5$ ;  $R/h = 320$  при  $\mu = 0,3$  и  $n = 6$  ( $\varepsilon = 0,0127$ ;  $\theta = 0,21$ ). Кривая 1 соответствует результатам вычислений по первой формуле в (4), кривая 2 — результатам работы [2], в которой осесимметричная составляющая прогиба принята в виде  $\Psi(x, t) = f_3(t) \sin^2(\alpha x)$ . Кривая 2 лежит выше кривой 1, поскольку использование традиционного подхода приводит к завышению обобщенной изгибной жесткости шарнирно опертой оболочки. Расчеты показывают, что с уменьшением относительной длины оболочки погрешность решения, полученного на основе традиционного подхода, значительно увеличивается.

В заключение рассмотрим аппроксимацию прогиба, при которой  $\Psi(x, t) = f_3(t) \sin(\alpha x)$  ( $f_4(t) \equiv 0$ ). В этом случае при  $\theta \rightarrow 0$  коэффициент  $c_1 = 32\varepsilon/(9\pi^2)$ , а коэффициент  $c_2 = 9(1 - 256/(27\pi^2))/4$  не только не равен нулю, но и становится положительным. Разность  $1 - 256/(27\pi^2) \approx 0,04$  обусловлена погрешностью первого приближения для радиальной формы колебаний. По этой причине для относительно длинных оболочек в работах [2, 3] получена скелетная кривая жесткого типа.

Выполненное исследование показало, что результаты, полученные на основе предложенного подхода к построению нелинейной динамической конечномерной модели оболочки, удовлетворительно соответствуют известным теоретическим и экспериментальным результатам [1–5], полученным для относительно длинных оболочек. Этот подход, в отличие от традиционного, позволяет удовлетворить всем граничным условиям задачи, в том числе тангенциальным, поэтому на его основе могут быть рассчитаны нелинейные динамические характеристики оболочки любой длины.

## ЛИТЕРАТУРА

1. Кубенко В. Д., Ковальчук П. С. Нелинейные задачи колебаний тонких оболочек (Обзор) // Прикл. механика. 1998. Т. 34, № 8. С. 3–31.
2. Кубенко В. Д., Ковальчук П. С., Краснопольская Т. С. Нелинейное взаимодействие форм изгибных колебаний цилиндрических оболочек. Киев: Наук. думка, 1984.
3. Варадан Т. К., Пратхап Дж., Рамани Х. В. Нелинейные свободные изгибные колебания тонкостенных круговых цилиндрических оболочек // Аэрокосм. техника. 1990. № 5. С. 21–24.

4. **Ладыгина Е. В., Маневич А. И.** Нелинейные свободные изгибные колебания цилиндрической оболочки с учетом взаимодействия сопряженных форм // Изв. РАН. Механика твердого тела. 1997. № 3. С. 169–175.
5. **Вольмир А. С.** Нелинейная динамика пластинок и оболочек. М.: Наука, 1972.
6. **Evensen D. A.** Nonlinear flexural vibrations of thin circular rings // J. Appl. Mech. E. 1965. V. 33, N 3. P. 553–560.

*Поступила в редакцию 12/II 1999 г.,  
в окончательном варианте — 13/III 2001 г.*

---